

Das Elektron als Welle

Versuch von Davisson und Germer (1927, Erklärung 1927)

de Broglie: $\lambda = \frac{h}{P} = \frac{h}{\sqrt{2m_e E_{kin}}} = \frac{h}{\sqrt{2m_e eV}}$

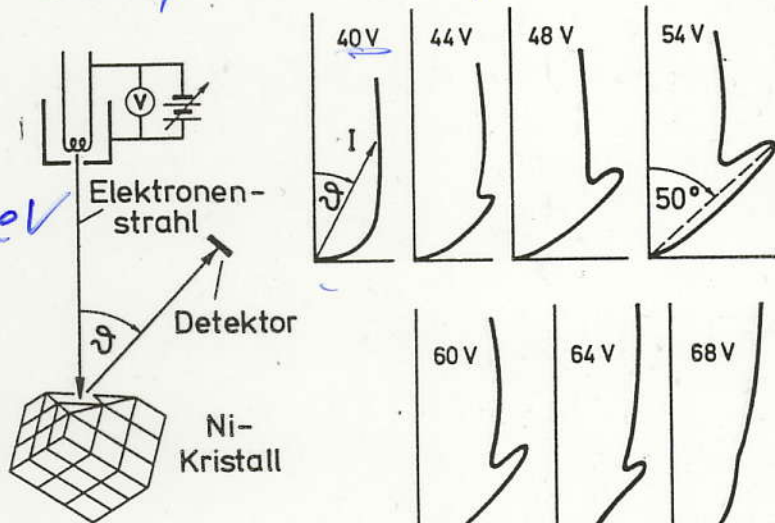
klassisch

Tabelle 6.2. Wellenlänge der Elektronen nach De Broglie in Å bei verschiedenen Energien [eV]

| E_{kin} | [eV] | 10 | 100 | 10^3 | 10^4 | 10^5 | 10^6 | 10^7 | 10^8 |
|-----------|------|-----|-----|--------|--------|---------------------|---------------------|---------------------|---------------------|
| λ | [Å] | 3,9 | 1,2 | 0,39 | 0,12 | $3,7 \cdot 10^{-2}$ | $8,7 \cdot 10^{-3}$ | $1,2 \cdot 10^{-3}$ | $1,2 \cdot 10^{-4}$ |

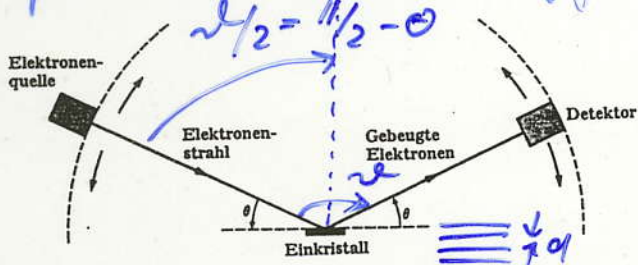
$\uparrow \uparrow \approx$ Stoßgrößen
langsame Elektronen

Interferenz bei Reflexion langsamer Elektronen
an einem Ni-Kristall



Winkelverteilung der reflektierten Elektronen
in Polardarstellung: Pfeillänge ist Maß für Intensität

Interpretation mit Bragg-Bedingung



$$2d \sin \Theta = n \cdot \lambda$$

$$\theta = \frac{\pi}{2} - \frac{n\lambda}{2}$$

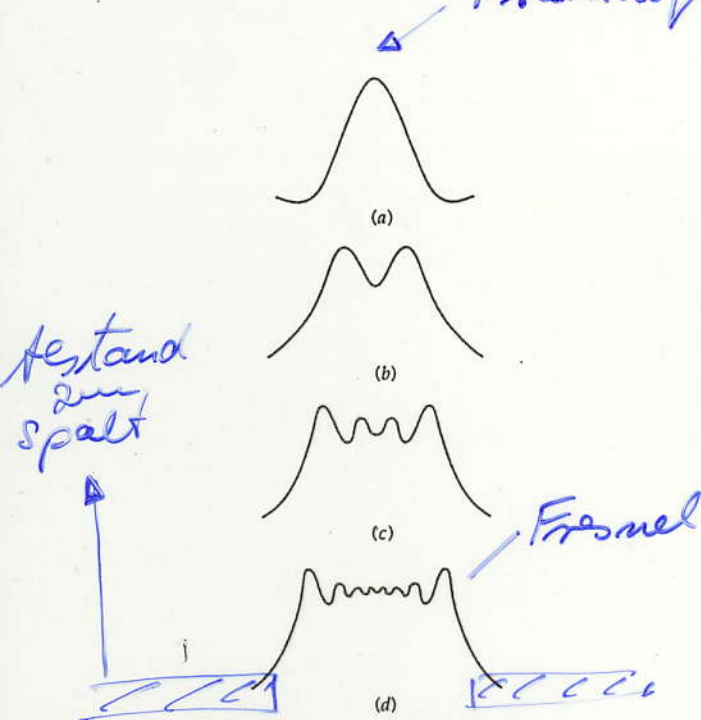
$$\sin \Theta = \sin \left(\frac{\pi}{2} - \frac{n\lambda}{2} \right)$$

$$= \cos \frac{n\lambda}{2}$$

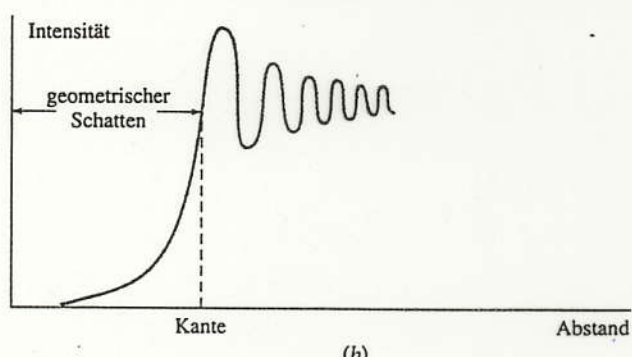
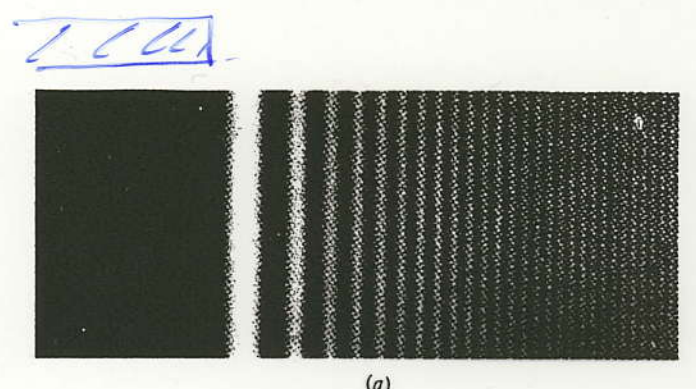
$$\Rightarrow 2d \cos \frac{n\lambda}{2} = n \cdot \lambda$$

Abb. 1-23. Anordnung von Davisson und Germer zur Beobachtung der Bragg-Streuung von Elektronen.

Fresnel - Beugung an einer Kante, Boersch (1956)
 Beugungsmuster von Licht an einer Einzelspalte
 Fraunhofer - Beugungsmuster



33.28 Die Beugungsmuster an einem Einzelspalt bei verschiedenen Schirmabständen. Bringt man den Schirm näher an den Spalt, so wird das Fraunhofer-Beugungsmuster a) bei weit entferntem Schirm allmählich zum Fresnel-Beugungsmuster, b) wobei der Schirm nahe am Spalt steht.



Beugung von Elektronen an einer Halbebene und einem Draht

H₂O₃-Folienkante



$$E_e = 3,4 \cdot 10^4 \text{ eV}$$



$$E_e = 19,4 \cdot 10^3 \text{ eV}$$

↑
 2 μm Ø Golddraht

Beebung an Fresnel-Biprisma, Möllenstedt (1956)

peripherisch. Erste-
lichtquellen

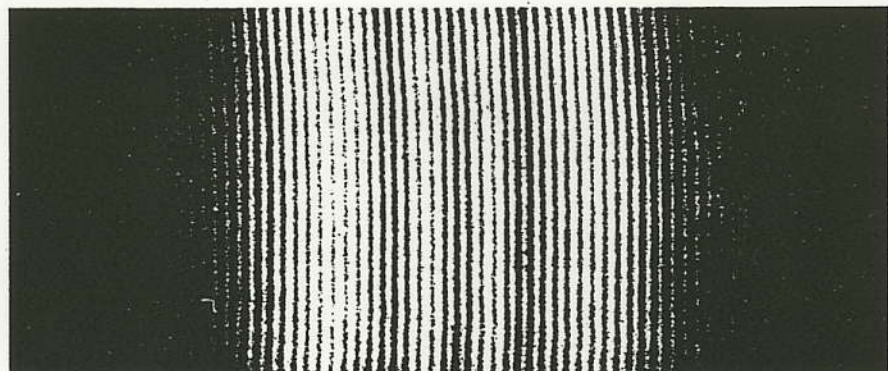
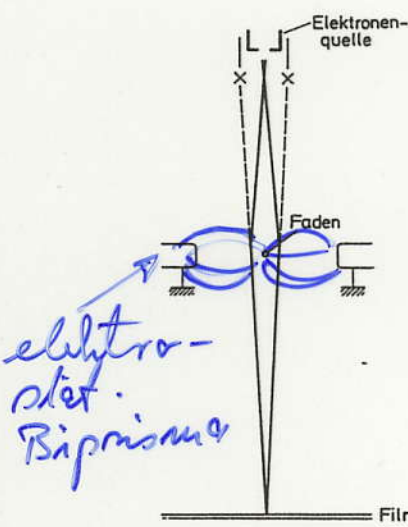
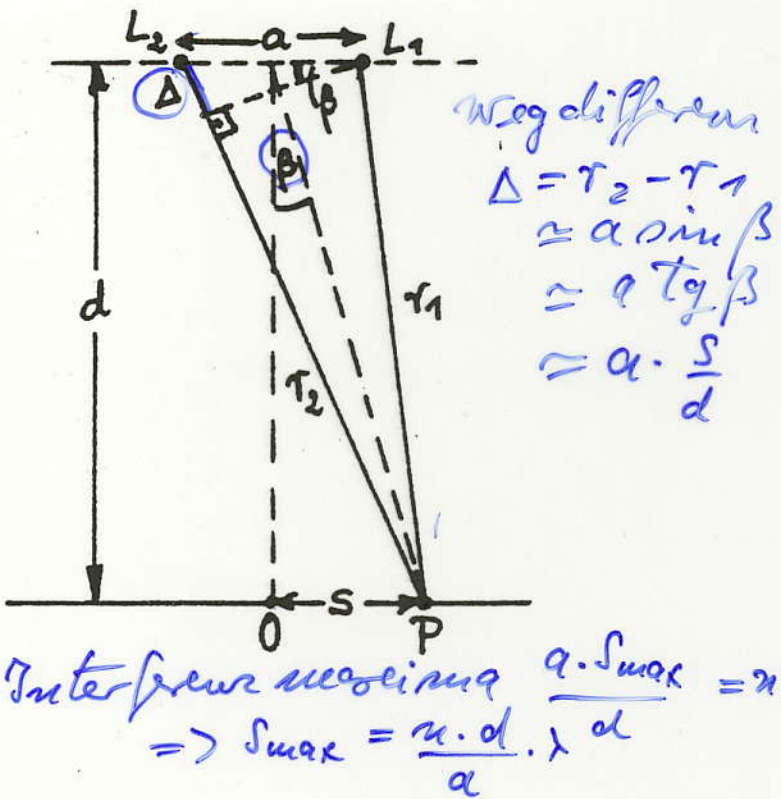
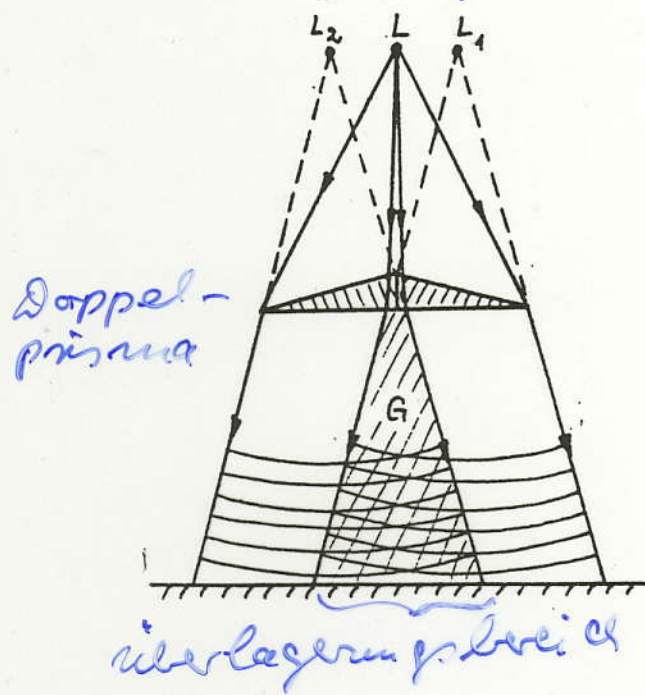


Abb. 6.10. Elektroneninterferenzen mit dem elektrostatischen Biprisma nach Möllenstedt und Düker. Meßergebnisse, aus Gerthsen, Kneser, Vogel: Physik. 13. Aufl. (Springer, Berlin, Heidelberg, New York 1977) Abb. 10.69

Abb. 6.9. Elektroneninterferenzen mit dem elektrostatischen Biprisma nach Möllenstedt und Düker. Versuchsanordnung. Zwischen dem Faden und den Gegenelektroden liegt eine elektrische Spannung. Durch das entstehende inhomogene elektrische Feld werden die Elektronen wie eingezeichnet abgelenkt. Nach Gerthsen, Kneser, Vogel: Physik, 13. Aufl. (Springer, Berlin, Heidelberg, New York) Abb. 10.68

Stöße als Wellen
 Die Wellennatur anderer Teilchen (He-Atome tröpfeln, Neutronen, Protonen ...) wurde ebenfalls durch Interferenzversuche nachgewiesen.

Elektronen

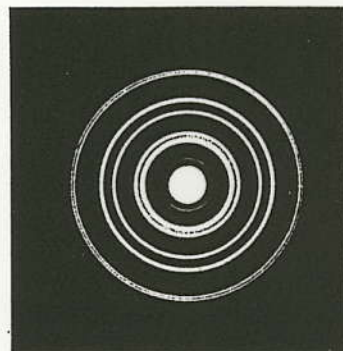
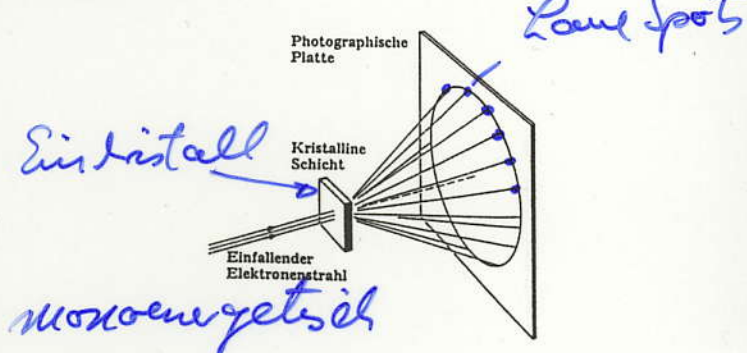


Abb. 1-20. Experimentelle Anordnung zur Beobachtung der Elektronenbeugung an kristallinem Material.

Abb. 1-21. Beugung von Elektronen an Kristallpulver (mit freundlicher Genehmigung von Dr. Lester Germer).

Neutronen

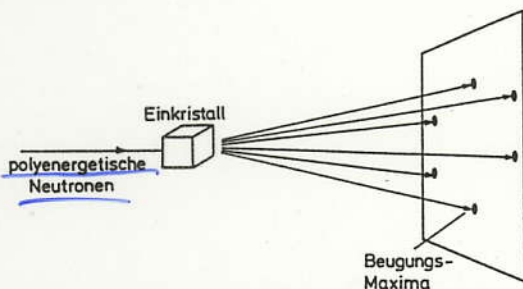


Abb. 6.11. Neutronenbeugung am Einkristall, Laue-Anordnung. Mit polyenergetischen Neutronen erhält man durch Streuung am Einkristall Laue-Diagramme

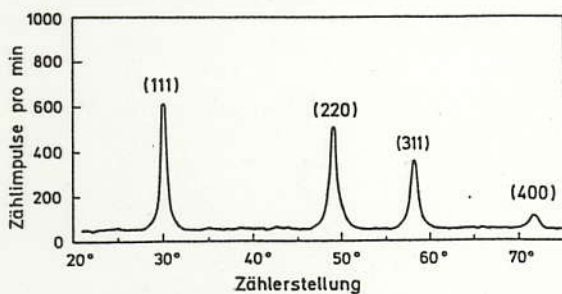


Abb. 6.13. Neutronenbeugung an Diamantpulver (nach G. Bacon). Man erkennt Beugungsmaxima an vier Netzebenenscharen, die mit den kristallographischen Indizes (111), (220), (311) und (400) bezeichnet sind

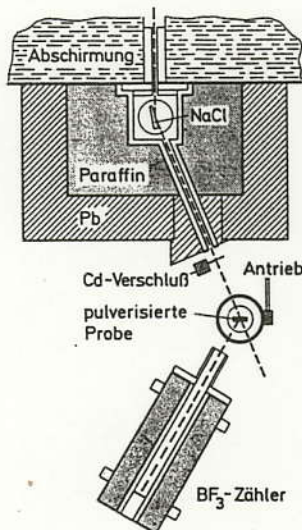


Abb. 6.12. Neutronenspektrometer (nach E. V. Wollan, C. G. Shull: Phys. Rev. 73, 830, 1948). Die Neutronen werden durch Reflexion an einem NaCl-Kristall monochromatisiert und erzeugen durch Beugung an einer polykristallinen Probe Interferenzringe nach Debye-Scherrer. Die Abmessung erfolgt mit einem BF_3 -Zähler

Elektronenbeugung aus Spalt

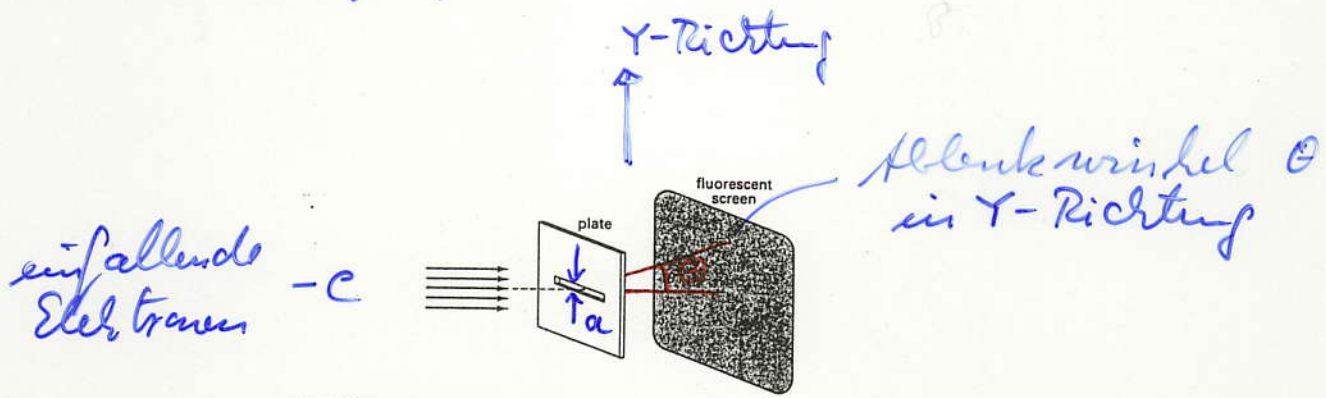


Fig. 5.8 Arrangement for an electron diffraction experiment. The angle θ measures the deflection of an electron from the straight path.

$a \gg \lambda_{\text{de Broglie}}$

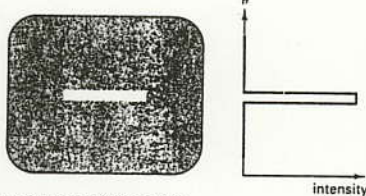


Fig. 5.9 Pattern seen on screen if slit is wide.

$a \approx \lambda_{\text{de Broglie}}$

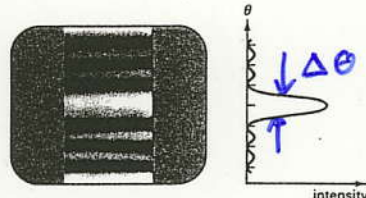


Fig. 5.10 Pattern seen on screen if slit is very narrow.

$a \ll \lambda_{\text{de Broglie}}$

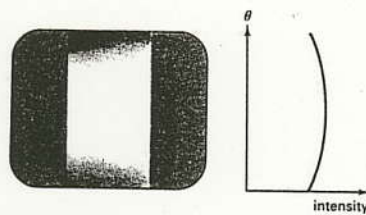


Fig. 5.11 Pattern seen on screen if slit is extremely narrow.

Interpretation: -e und klassische
Beweis: Reduktion der Zahl der einfallenden Elektronen
klassische Erwartung: einzelne Elektronen sollte Beugungsmuster zeigen.
welley ist falsch!

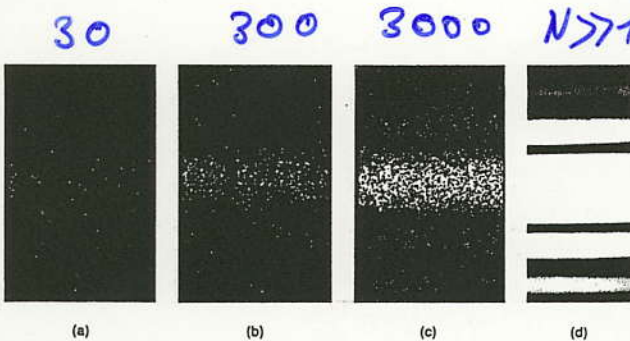


Fig. 5.12 Patterns of impact points of a number of electrons on the screen: (a) 30 electrons; (b) 300 electrons; (c) 3000 electrons; (d) a very large number of electrons. [(a)-(c) are simulations generated by a computer; (d) is a diffraction pattern obtained with light.]

entspricht der klassische Erwartung für Teilchen, die entlang gerader Linien wandeln

Beugungsmuster
 $\Delta\theta = \frac{\lambda}{a}$

wie für klassische Wellen erwartet, widerspricht aber klassischer Erwartung der Teilchenwanderung entlang gerader Linien

Beugungsmuster für Punktquelle nahezu gleichförmige Intensitätsverteilung

interpretation: -e und klassische
Beweis: Reduktion der Zahl der einfallenden Elektronen
klassische Erwartung: einzelne Elektronen sollte Beugungsmuster zeigen.
welley ist falsch!

Beugungsmuster ergibt sich durch den Beitrag mehr Elektronen auftreffpunkt einer einzigen Elektronen nicht vorhersehbar, nur die mittlere Verteilung einer großen Zahl von Elektronen ist vorhersehbar.

Doppelspalt - Experiment

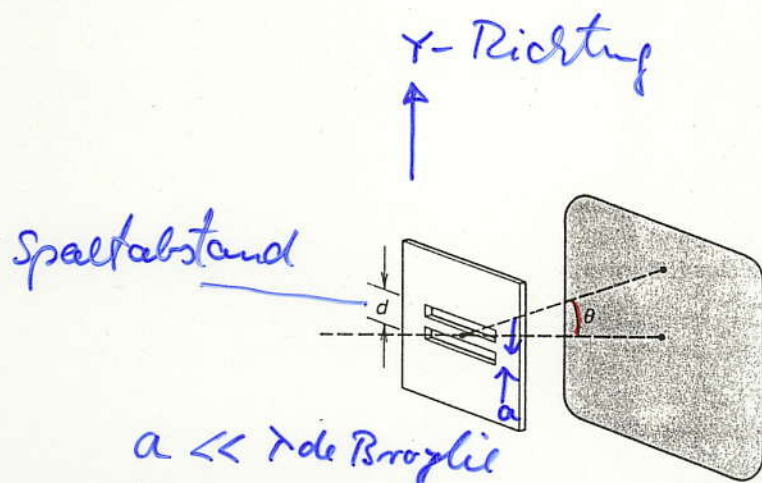


Fig. 5.13 Slits and screen. The separation between the slits is assumed to be much smaller than the distance to the screen.

a) Ein Spalt abgedeckt

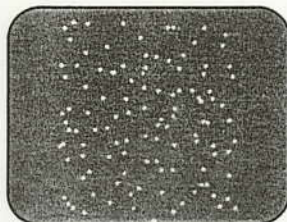


Fig. 5.14 Pattern of impact points if only one (extremely narrow) slit is open.

nahen homogene Verteilung
der Elektronen auf dem Bildschirm

b) Ergebnis für Doppelspalt

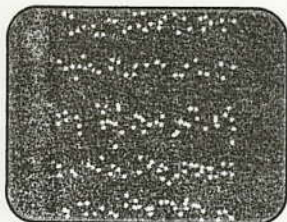


Fig. 5.15 Pattern of impact points if both slits are open.

Interferenzmuster von Wellen,
die von den zwei Spalten
ausgehen.

welle ψ_1 von Spalt 1

welle ψ_2 von Spalt 2

Analogie Optik:

Annahme: Prinzip der linearen Superposition

$$\Rightarrow \Psi = \Psi_1 + \Psi_2$$

konstruktive Interferenz: $d \sin \Theta = n \cdot \lambda$, $n=0,1,2,\dots$

destructive Interferenz: $d \sin \Theta = (n + \frac{1}{2}) \lambda$

Heisenberg'schen Unschärferelationen
 Ziel: Messung der Position des Elektrons in y-Richtung

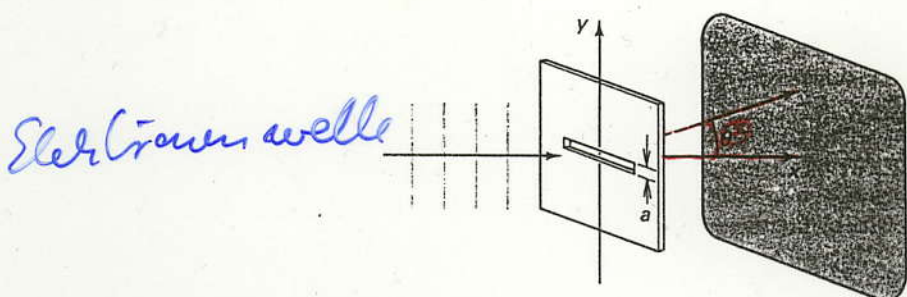


Fig. 5.16 Electron wave incident on a slit.

Fehler der Messung der y-Position: $\Delta y = a$ Spaltbreite
 Fehler der Messung der Winkel θ abgelebt
 Bezugsp. \Rightarrow Elektron wird um Winkel θ abgelenkt
 Abschätzung der Ablenkung: $\Delta \theta \approx \frac{\lambda}{a}$

Impuls des Teilchens in y-Richtung: $P_y = p \sin \theta \approx p \cdot \theta$
 Unsicherheit im Impuls: $\Delta P_y = p \cdot \Delta \theta \approx p \cdot \frac{\lambda}{a} = \frac{h}{\lambda} \cdot \frac{\lambda}{a}$
 $= \underline{\underline{\frac{h}{a}}}$

$$\Rightarrow \Delta y \cdot \Delta P_y \approx h \quad (\text{reicht } \underline{\underline{\frac{h}{2}}}) \quad \left. \begin{array}{l} \\ \\ \end{array} \right\} \begin{array}{l} \text{Heisenberg'schen} \\ \text{Unschärferelationen} \\ \text{für Ort und Impuls} \end{array}$$

$$\Delta x \cdot \Delta P_x \approx \frac{h}{2}$$

$$\Delta z \cdot \Delta P_z \approx \frac{h}{2}$$